

HT-XAFS for Elucidating the Formation Mechanisms of ORR Active Sites in Fe-N-C Electrocatalysts

A. Mufundirwa,¹ K. Ogi,² S. Yoshioka,^{2,6} T. Sugiyama,⁶ G. F. Harrington,^{7,9} K. Sasaki,^{1,5,7} A. Hayashi,^{1,8} S. M. Lyth^{5,8,10*}

¹Department of Mechanical Engineering; ²Department of Applied Quantum Physics and Nuclear Engineering, ⁶Research Centre for Synchrotron Light Applications (RCSLA); ⁸Platform of Inter/Transdisciplinary Energy Research (Q-PIT), Kyushu University.

Iron-decorated nitrogen-doped carbon (Fe-N-C) catalysts could replace platinum in fuel cells. However, there is lack of understanding of the formation mechanisms of active sites in these materials. Here, we utilise a nitrogen-doped carbon foam support with optimised porosity, surface area, and conductivity. This is infiltrated with iron (II) acetate and heat treated, changing the chemical state of the adsorbed iron, whilst the support properties are relatively unchanged. High temperature X-ray adsorption spectroscopy (XAS) was used to observe changes in the adsorbed iron *in-situ* during synthesis, revealing the transition from Fe-O bonds in FeAc at low temperature to Fe-N bonds at 700 °C as the iron binds with nitrogen atoms in the support. At 900 °C Fe-Fe bonds are observed as the iron is reduced to metal, forming carbon-encapsulated nanoparticles. These physical changes significantly affect the electrochemical activity.

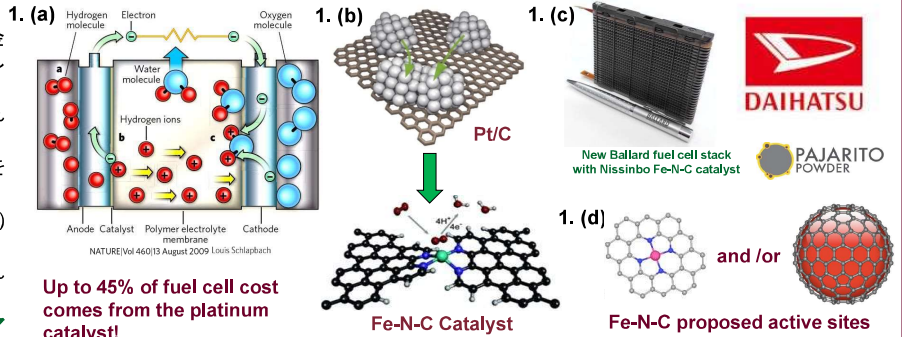
HT-XAFS for Elucidating the Formation Mechanisms of ORR Active Sites in Fe-N-C Electrocatalysts

A. Mufundirwa,¹ K. Ogi,² B. Smid,³ B. V. Cunning,⁴ Y. Shundo,⁵ S. Yoshioka,^{2,6} T. Sugiyama,⁶ G. F. Harrington,^{7,9} K. Sasaki,^{1,5,7} A. Hayashi,^{1,8} S. M. Lyth^{5,8,10*}

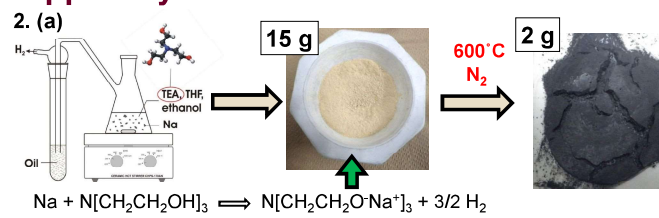
¹Department of Mechanical Engineering, Kyushu University; ²Department of Applied Quantum Physics and Nuclear Engineering, Kyushu University; ³Charles University, Prague, Czech Republic; ⁴UNIST, Ulsan, Republic of Korea; ⁵International Institute for Carbon Neutral Energy Research (WPI-I2CNER), Kyushu University; ⁶Research Centre for Synchrotron Light Applications (RCSLA), Saga Light Source, Kyushu University Beamline BL06, Saga Light Source, Tosa, Japan; ⁷Next-Generation Fuel Cell Research for Hydrogen Energy, Kyushu University; ⁸Platform of Inter/Transdisciplinary Energy Research (Q-PIT), Kyushu University; ⁹Department of Materials Science and Engineering, Massachusetts Institute of Technology, Cambridge, MA, 02139, USA; ¹⁰Energy 2050, University of Sheffield, UK

Introduction

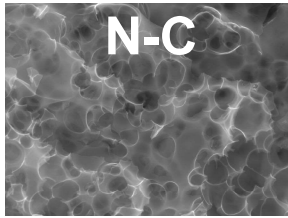
- 固体高分子形燃料電池(PEFCs)はカーボンに分散担持された白金触媒(Pt/C)が用いられ、高効率のグリーンエネルギー変換デバイスとして知られている。
- 燃料電池の商業化は、白金がハイコストであることに起因し、促進されていない。
- 炭素ベースのカソード触媒(Fe-N-C)は優れた酸素還元反応(ORR)を示す。
- 現在、いくつかの企業(Pajarito Powder, Ballard, 日清紡、ダイハツ)はFe-N-Cの研究を行っている。
- しかし、Fe-N-Cの活性部位はあまり理解されておらず、広く普及されていないのが現状である。
- 本研究ではFe-N-Cの活性部位の解明を目的とし、"de-coupling"アプローチを利用し、初めにベースを作製し、次に鉄を担持した。



Support Synthesis

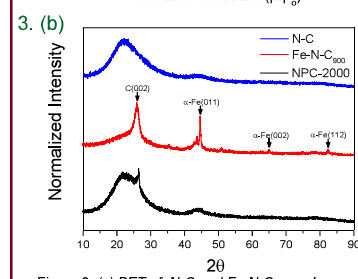
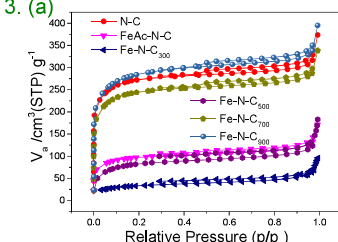


- ナトリウム、トリエタノールアミン(TEA)、エタノールおよび溶媒を攪拌し、ロータリーエバボレーターで蒸発させ、箱型の炉で熱分解をした。その後、純水でNaOHを除去した。
- 1000°Cで2時間、2回目の熱分解を行い、N-Cを形成した。
- N-Cと酢酸鉄(FeAc)は攪拌、ろ過、乾燥させ、150°C・300°C・500°C・700°C・900°Cでそれぞれ2時間、アンモニア(NH₃/N₂)の熱処理を行った。



Results

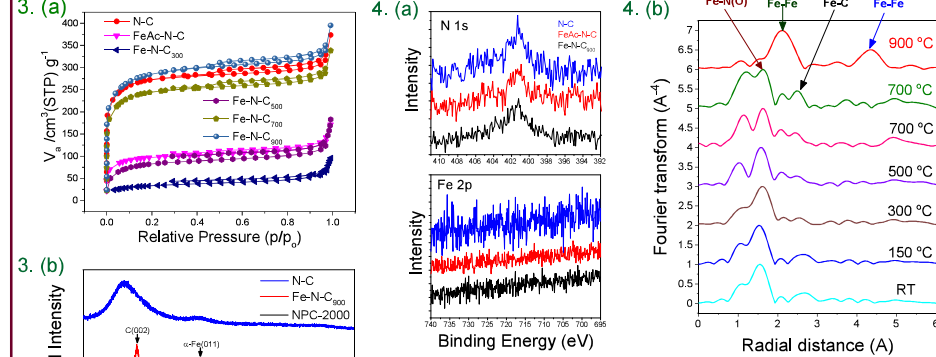
1. BET and XRD



- N-CとFe-N-CはI型のマイクロポアを有する。
- FeAcを担持した触媒は表面積の減少時に観察され、微細孔が塞がれたを示唆した。
- しかし、Fe-N-C₇₀₀およびFe-N-C₉₀₀はN-Cと同様な等温線を示し、FeAcの添加は多孔性にほとんど影響を与えるなかつた。
- XRDからFe-N-C₉₀₀はN-Cおよび市販のFe-N-Cと比べて、優れた黒鉛化によりピークが顕著に示された。

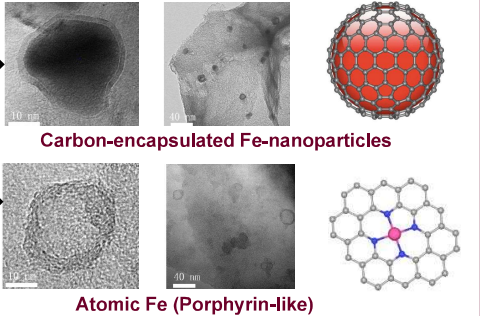
- N-CとFe-N-CはI型のマイクロポアを有する。
- FeAcを担持した触媒は表面積の減少時に観察され、微細孔が塞がれたを示唆した。
- しかし、Fe-N-C₇₀₀およびFe-N-C₉₀₀はN-Cと同様な等温線を示し、FeAcの添加は多孔性にほとんど影響を与えるなかつた。
- XRDからFe-N-C₉₀₀はN-Cおよび市販のFe-N-Cと比べて、優れた黒鉛化によりピークが顕著に示された。

2. XPS and EXAFS

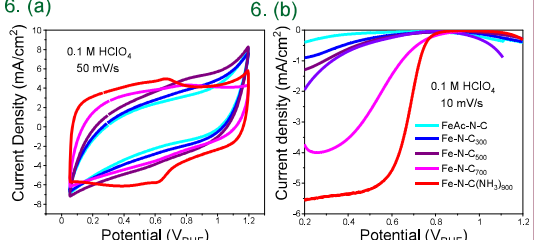


- XPSからFeAcの添加は原子濃度にほとんど影響を与えず、N-Cの安定性を示す。
- FeAcは150~300°Cの間で分解される。
- Fe-Nの結合は300~700°Cの範囲で形成される。
- 700°C以上ではFe-Nの結合が分解され、炭素カプセル化された鉄のナノ粒子が形成される。

3. Transmission electron microscopy



4. Electrochemical Characterization



- 500°C以下で加熱されたFe-N-CはほとんどORR活性を示さなかつた。
- 触媒活性は700°C以上で大幅に改善された。

Conclusions

- 高表面積(1600 m²/g)を有する窒素ドープカーボン(N-C)は安価な前駆体で合成され、ORRにおける非PGM触媒として評価された。
- 低温での熱分解は主にORR活性を示し、700°C以上での熱分解はFe-N結合におけるORR活性および炭素カプセル化されたFeナノ粒子の形成が示された。
- 今後の展望: 最適化、耐久性、NAP-XPS, Mössbauer. In-Situ XAFS, HR-TEM, FIB-SEM, Fe-N-CベースのMEA製造

References

- Platinum-decorated nitrogen-doped graphene foam electrocatalysts, J. Liu, T. Dao, K. Sasaki, S. M. Lyth, *Fuel Cells* 14, 728 (2014)
- Defective Nitrogen-Doped Graphene Foam: A Metal-Free, Non-Precious Electrocatalyst for the Oxygen Reduction Reaction in Acid, J. Liu, T. Dao, D. Oregon, K. Sasaki, *Electrochimica Acta*, 163, 344–350 (2014)
- Sol-gel synthesis of nitrogen-doped carbon nanotube for electrochemical oxygen reduction, S. M. Lyth, Y. Nabae, N. M. Islam, T. Hayakawa, S. Kuroki, M. Kakimoto, S. Miyata, *J. Surf. Sci. & Nanotech.*, 10, 29–32 (2012)
- Shirokane, K. et al. *Nat. Commun.* 6, 7343 (2015).
- Identification of catalytic sites for oxygen reduction in iron- and nitrogen-doped graphene materials, A. Zitola, V. Goedler, V. Arnett, M.-T. Sougrati, T. Mineva, L. Stevano, E. Fonda, and F. Jäcken, *Nat. Mater.*, vol. 13, no. 9, pp. 937–942, 2014.
- Metal-Free Nitrogen-Doped Carbon Foam Electrocatlysts for the Oxygen Reduction Reaction in Acid Solution, J. Liu, S. Yu, T. Dao, M. S. Islam, K. Sasaki and S. M. Lyth, *Electrochimica Acta*, 163, 162–167 (2014)
- J. Jäcken, J. Herges, M. Leibner, J. P. Dordet, U. I. Koenig, I. Herrmann, P. Boglandoff, J. Manayama, T. Nagasaka, A. Garsuch, J. R. Dahn, T. Olson, S. Pylypenko, E. Alanssari, and F. A. Usmani, *ACS Appl. Mater. Interfaces*, 2008, 1, 1623–39.
- <http://www.pmanag.com/databases/sets/nanohive/soft/hfree/concepts/funkey/2047/references#0>
- <http://www.greenprogress.com/2016/01/27/whatis/>